

Espace-temps des trous noirs de Schwarzschild

Ecole polytechnique - 19/03/2019

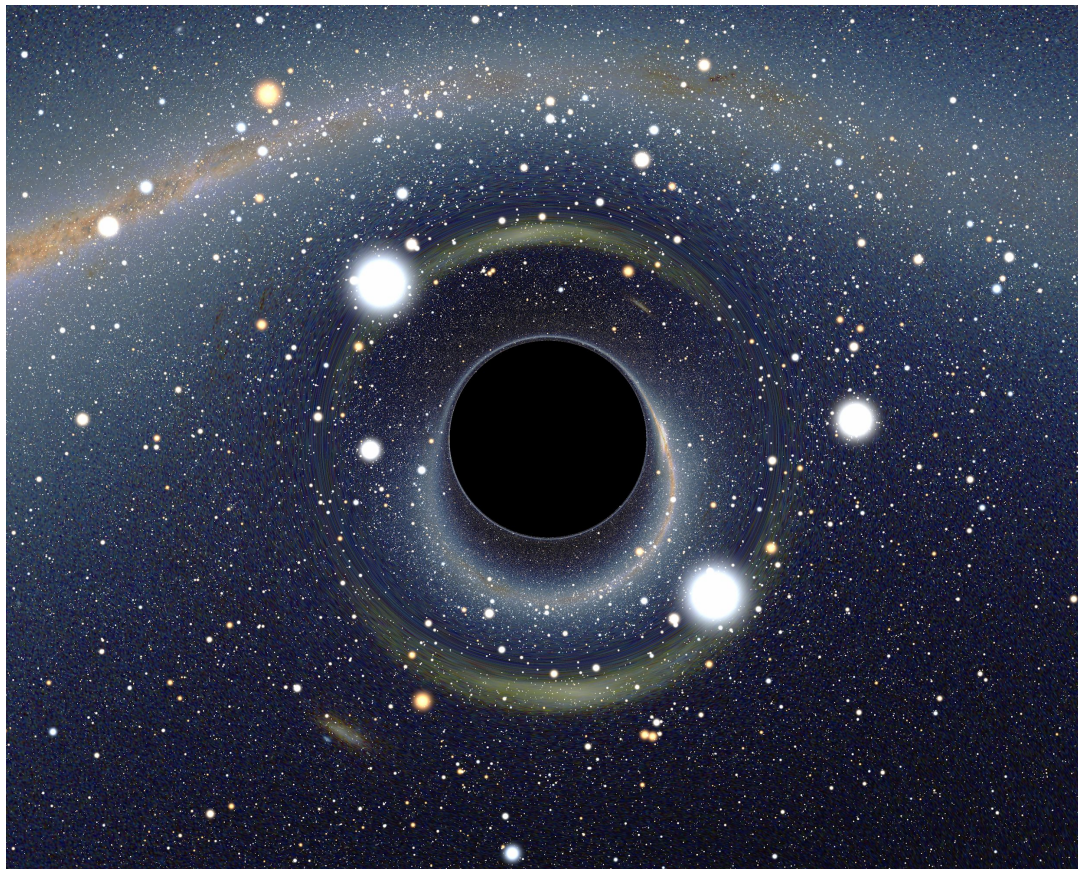
Jaafar Chakrani, Clément Pellouin, Augustin Tommasini

Plan de la présentation

1. Introduction
2. Mouvement d'une particule matérielle dans l'espace-temps de Schwarzschild
3. Mouvement d'un photon dans l'espace-temps de Schwarzschild
4. Ciel apparent pour un observateur près du trou noir
5. Effet Einstein

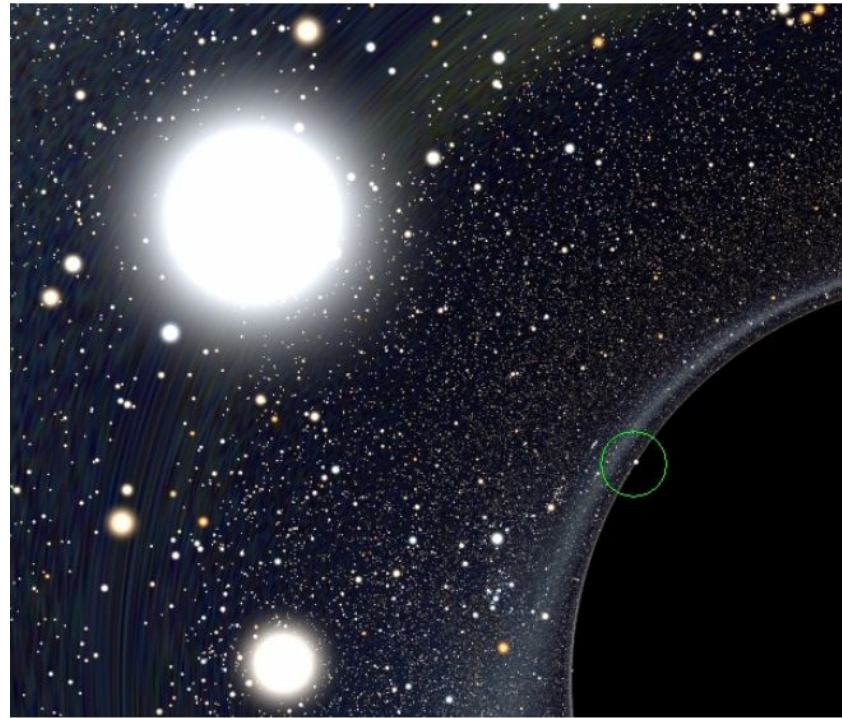
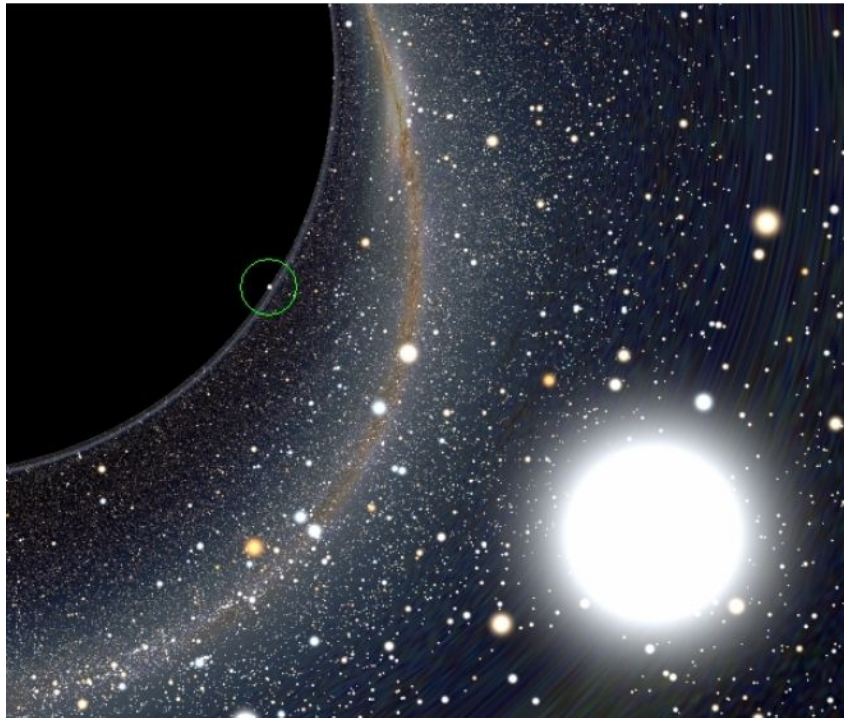
Commentaires introductifs

Motivation du projet :



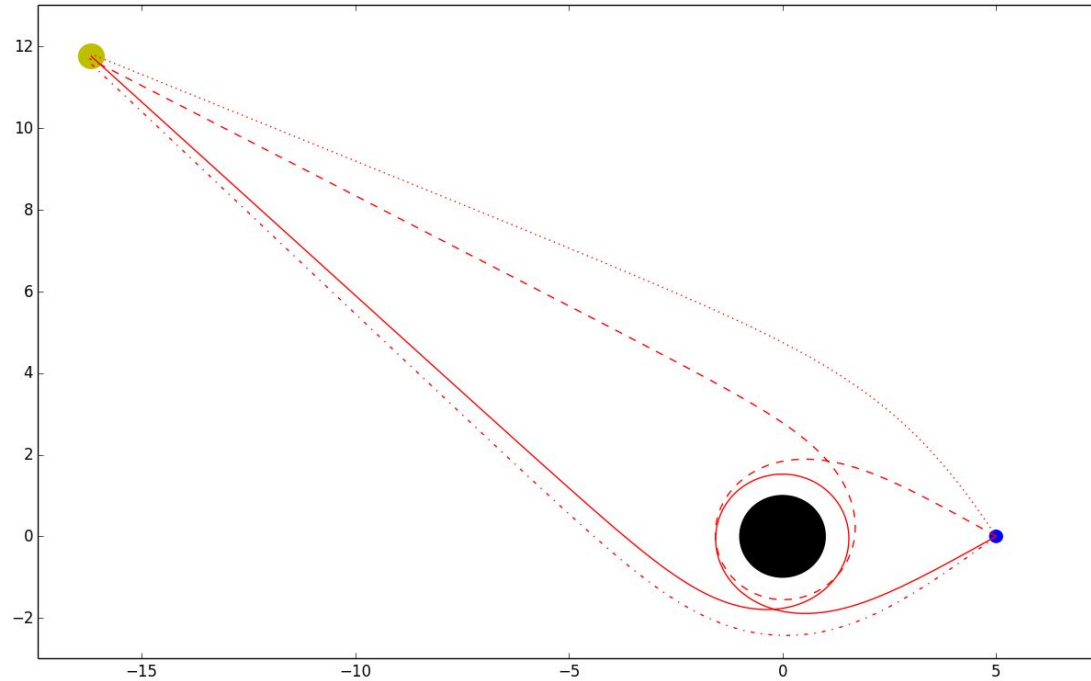
Crédits : A. Riazuelo, CNRS, IAP

Phénomène d'images multiples



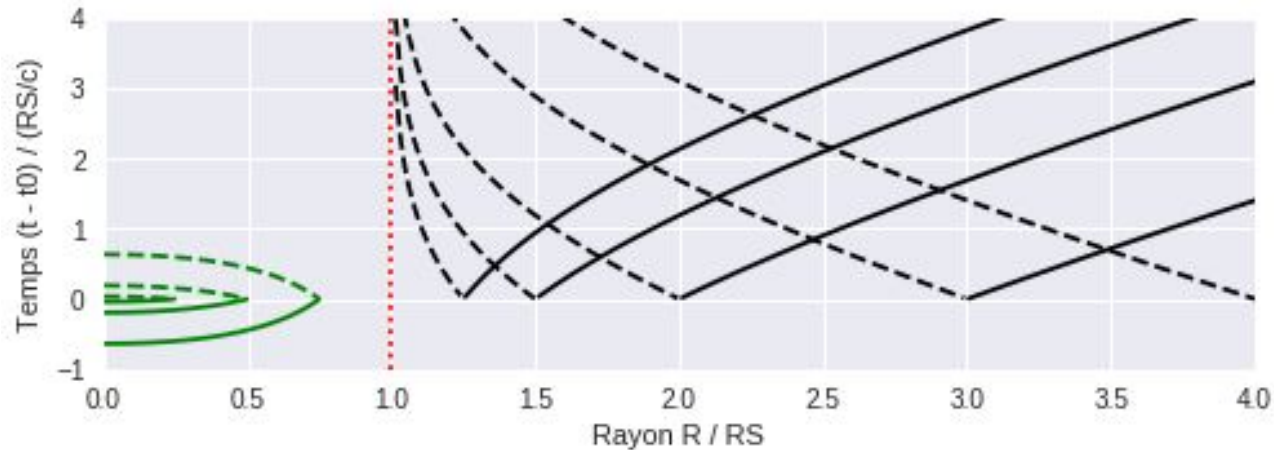
Crédits : A. Riazuelo, CNRS, IAP

Phénomène d'images multiples



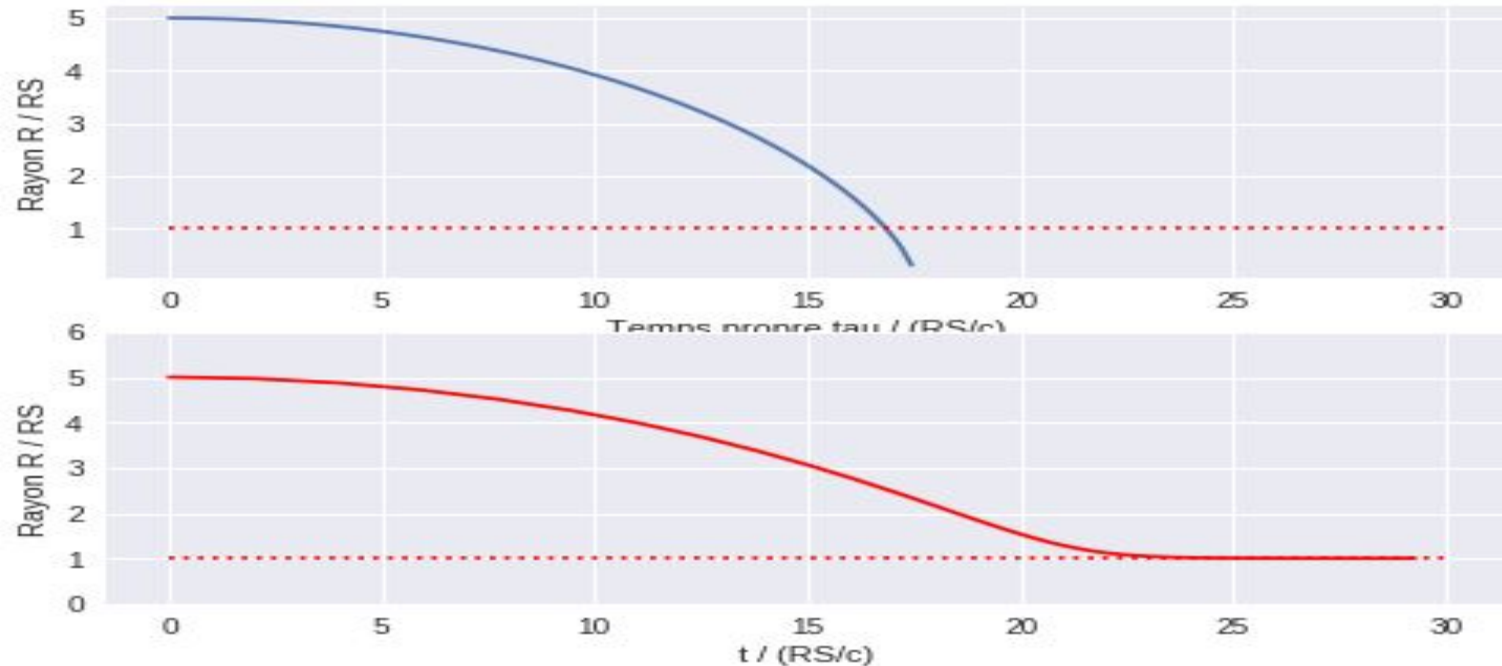
Calculs préliminaires

Géodésiques radiales d'une particule matérielle dans l'espace-temps de Schwarzschild



Calculs préliminaires

Temps de chute d'une particule massive dans un trou noir



Mouvement d'une particule matérielle dans l'espace-temps de Schwarzschild

Schéma d'intégration - tracé des géodésiques

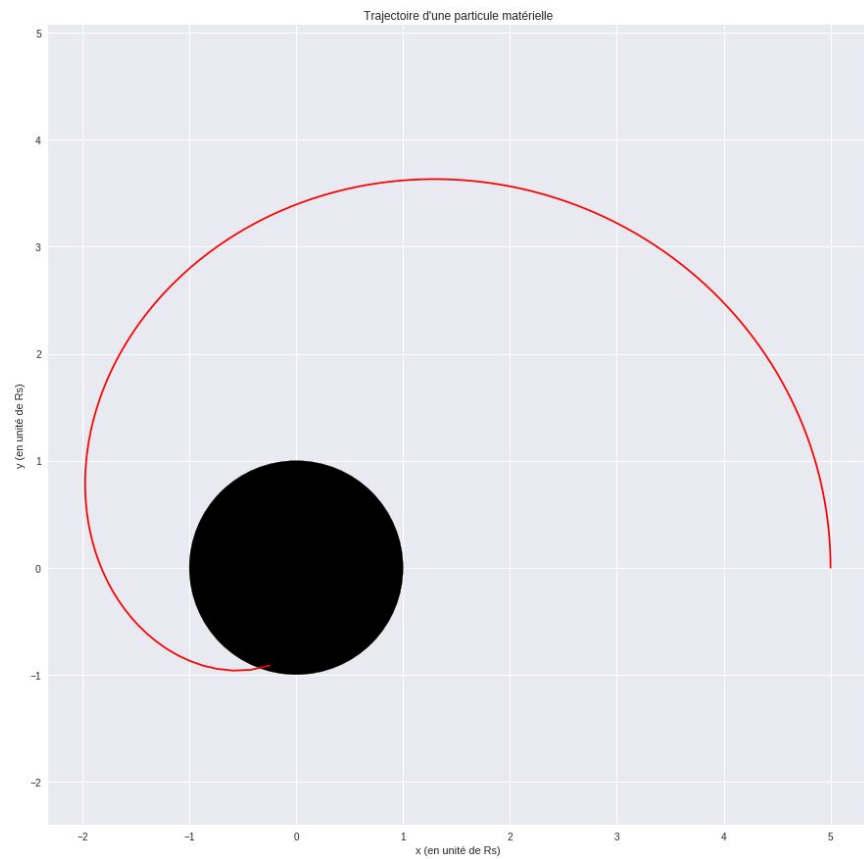
$$\frac{1}{2} \left(\frac{dr}{d\tau} \right)^2 + V(r) = \frac{1}{2} \left(\frac{e^2}{c^2} - c^2 \right)$$

$$\text{Où } V(r) = \frac{1}{2} \left[\left(1 - \frac{R_S}{r} \right) \left(c^2 + \frac{l^2}{r^2} \right) - c^2 \right] = -\frac{GM}{r} + \frac{l^2}{2r^2} - \frac{GMl^2}{r^3 c^2}$$

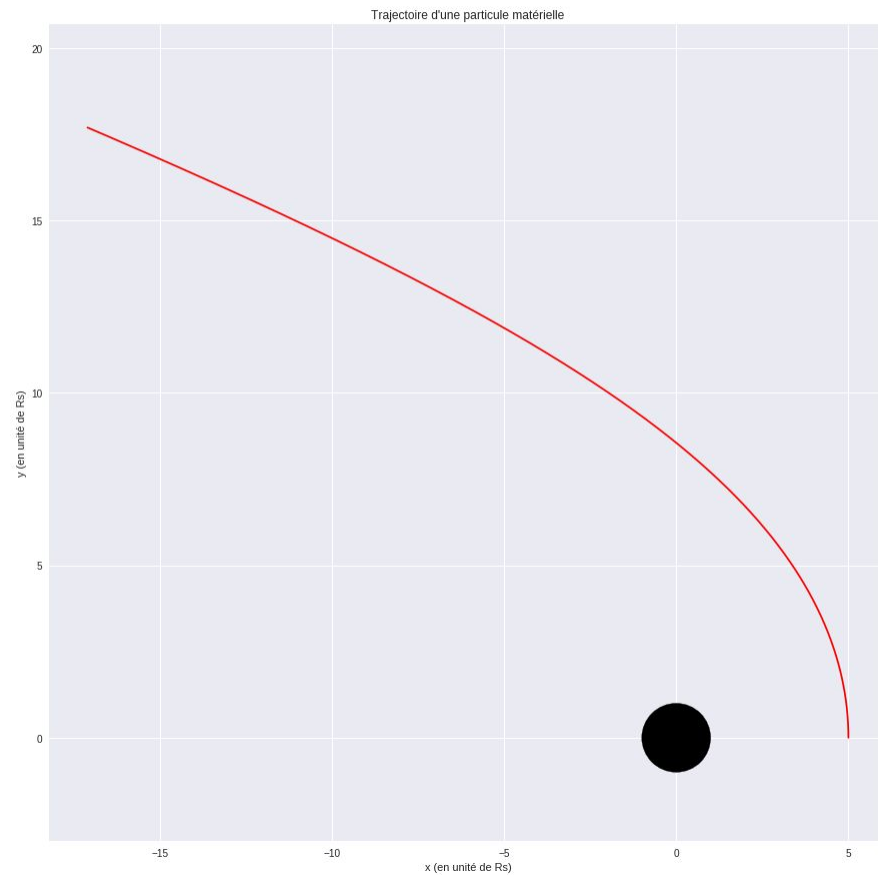
Et e et l sont définis par

$$\left(1 - \frac{R_S}{r} \right) \frac{dt}{d\tau} = \frac{e}{c^2} \quad ; \quad r^2 \frac{d\varphi}{d\tau} = l$$

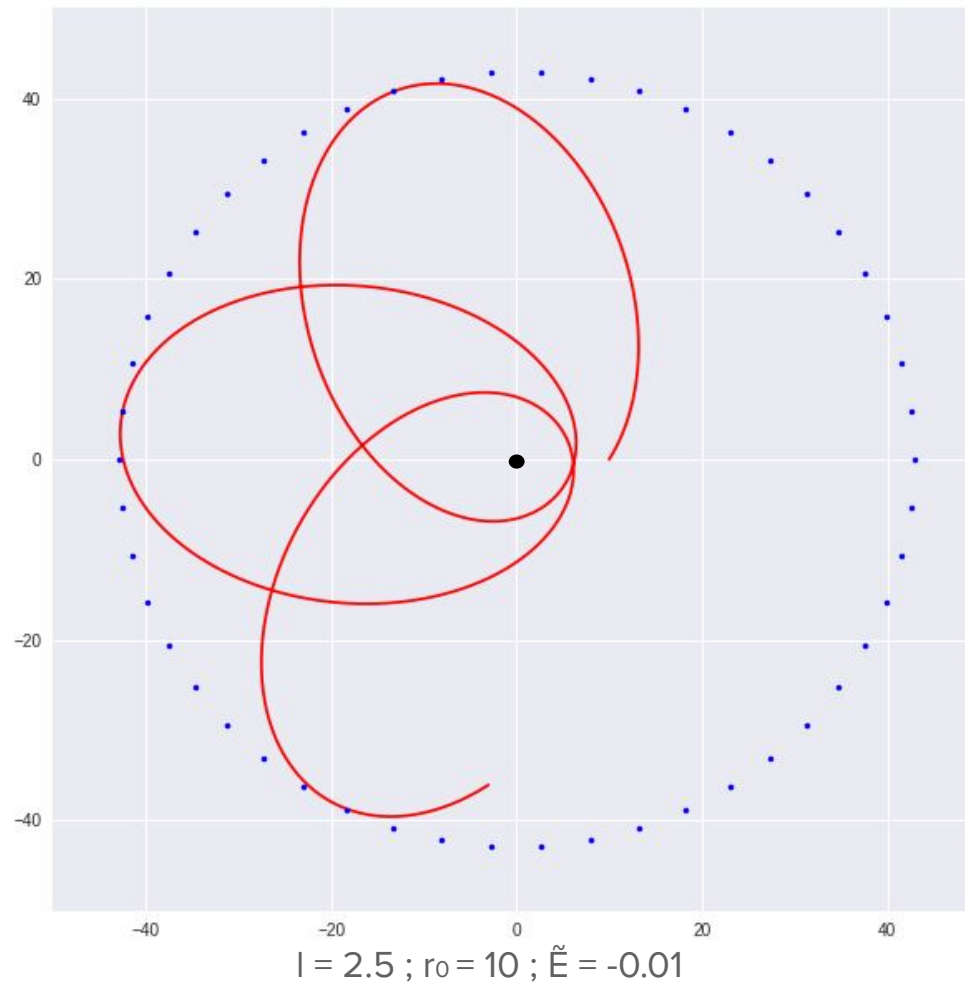
- Mouvement plan
 - Intégration par méthode de Runge-Kutta d'ordre 4
 - Paramètres :
 - Position initiale (r_0, φ_0)
 - Vitesse initiale (u_r, u_φ)
- 
- Position initiale (r_0, φ_0)
 - Énergie
 - Moment



$$r_0 = 5; u_y = 0.3$$



$$r_0 = 5; u_y = 0.55$$



En pointillés :
Rayon maximal
atteint dans l'état
lié

Mouvement d'un photon dans l'espace-temps de Schwarzschild

Schéma d'intégration - tracé des géodésiques

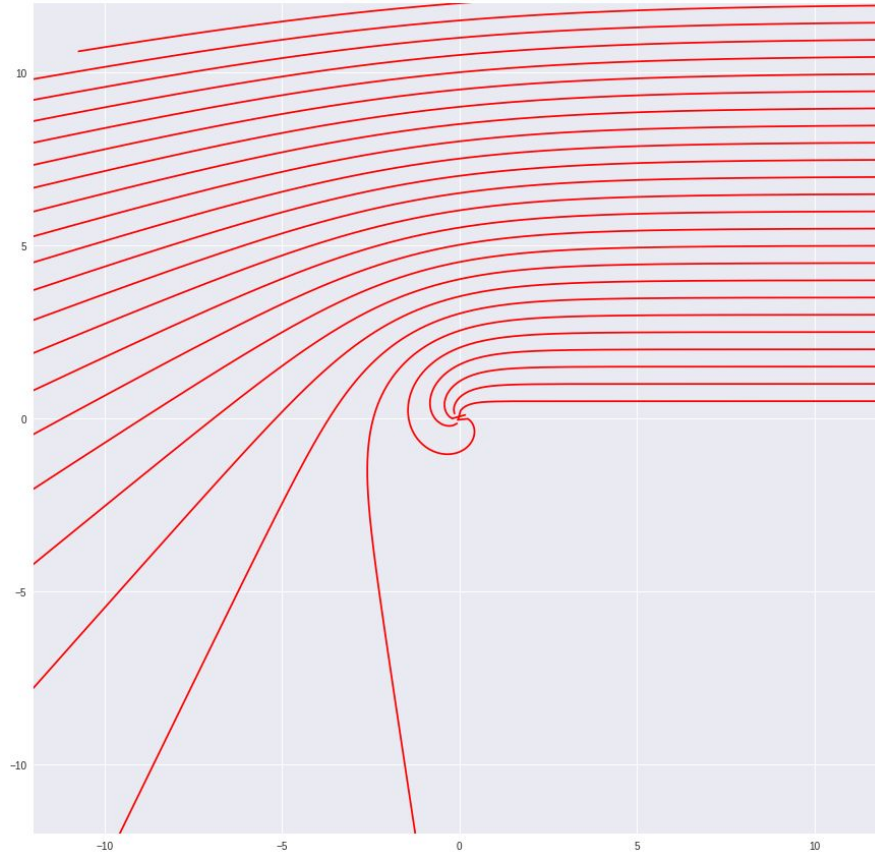
$$\left(\frac{dr}{d\tilde{\lambda}}\right)^2 + V_{\text{photon}}(r) = \left(\frac{R_S}{b}\right)^2 c^2$$

b est le paramètre d'impact du photon, et V est le potentiel suivant :

$$V_{\text{photon}}(r) = c^2 \left(\frac{r}{R_S}\right)^{-2} \left(1 - \frac{R_S}{r}\right)$$

- Même méthode que pour la particule matérielle (Runge Kutta d'ordre 4)
- Remarque : Pour $r \gg R_S$, $\tilde{\lambda} = \frac{b}{R_S} t$ où t est le temps d'un observateur à l'infini

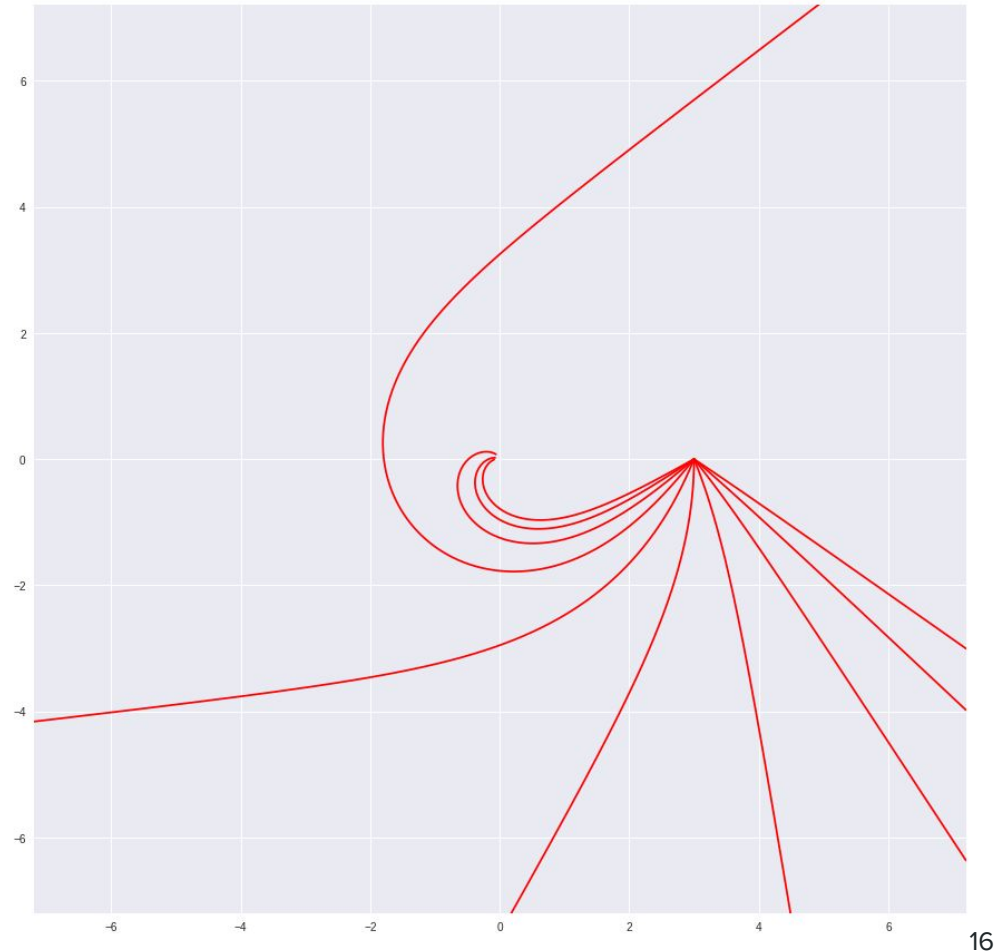
Schéma d'intégration - tracé des géodésiques



Tracé de plusieurs géodésiques
avec différents paramètres
d'impact

Capture des photons

Tracé des géodésiques parvenant à un observateur fixe avec un pas d'angle régulier

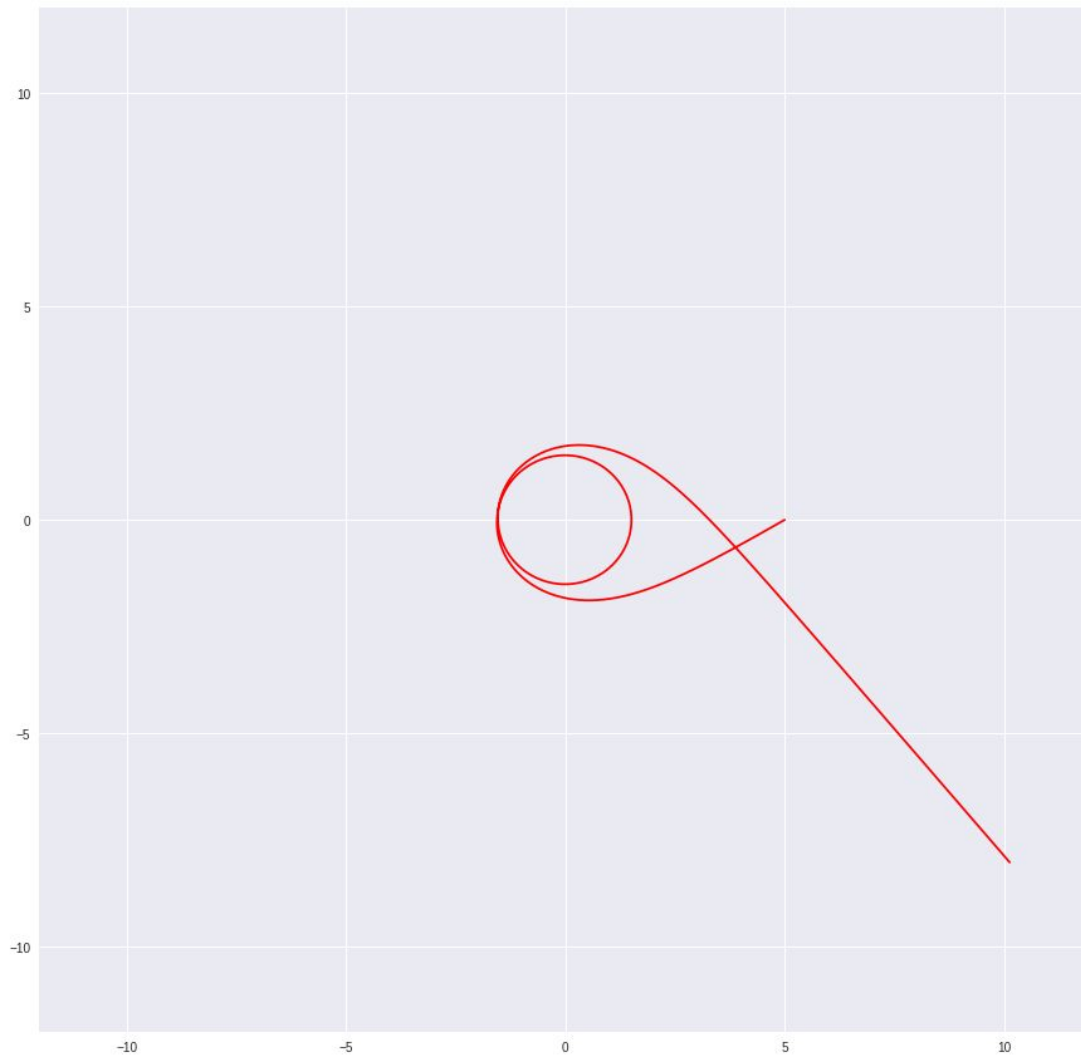


... Mais la méthode est très sensible !

- Les géodésiques passant près du trou noir doivent être calculées avec précision
- On aimerait valider que les géodésiques que l'on trace sont précises
- Deux paramètres entrent en jeu :
 - la valeur du pas d'intégration \Rightarrow Comment adapter le pas en fonction du rapprochement au trou noir ?
 - le “quadrillage” du ciel

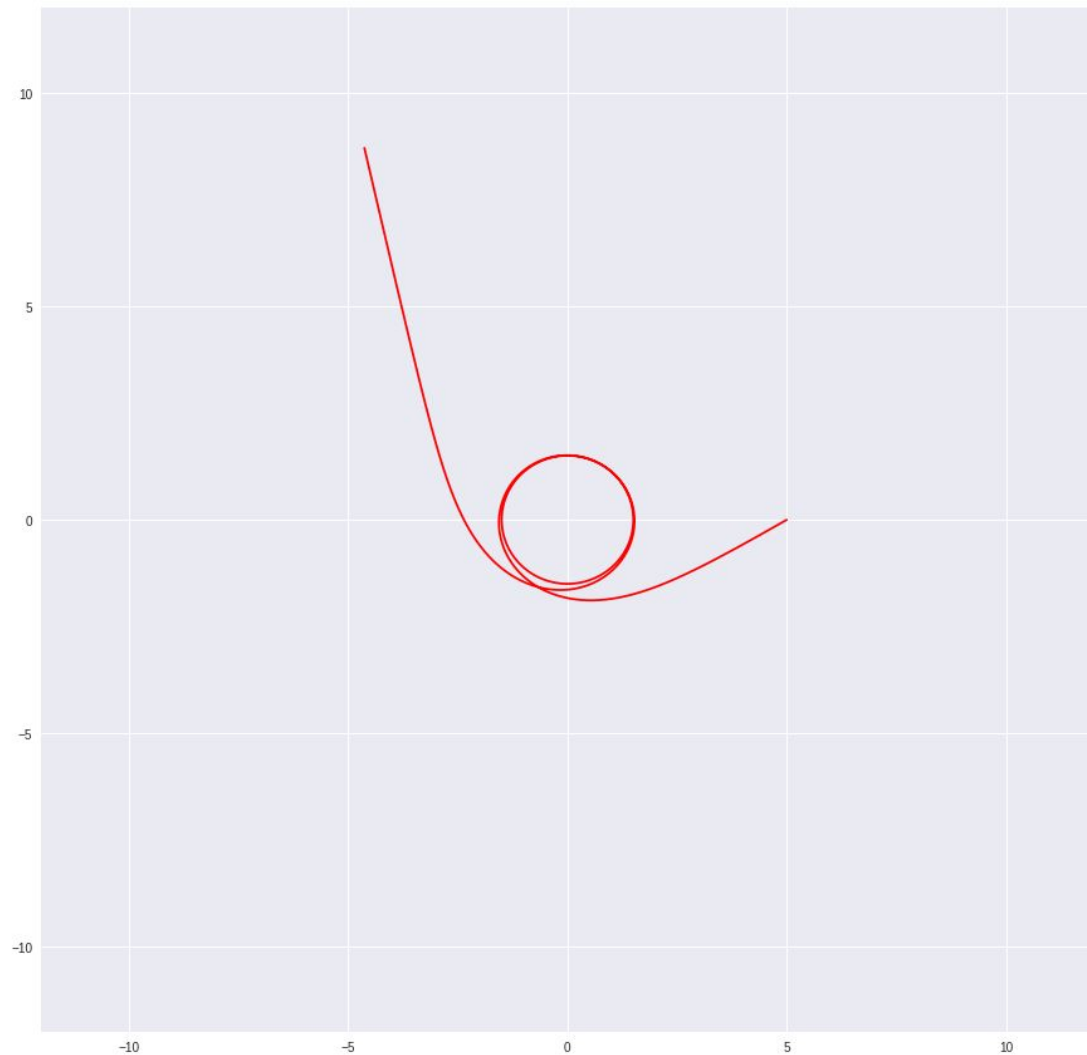
Un exemple :

pas d'intégration
 $h = 0.001$



Un exemple :

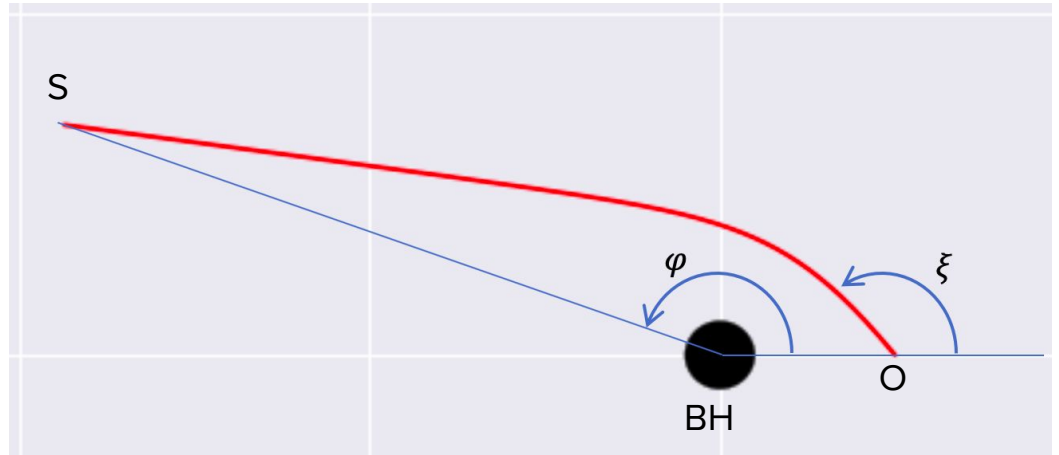
pas d'intégration
 $h = 0.0001$



Méthode des tirs

Rappel : les géodésiques sont planes

Objectif : déterminer l'angle apparent ξ d'une étoile repérée par un angle φ dans le plan O-BH-S

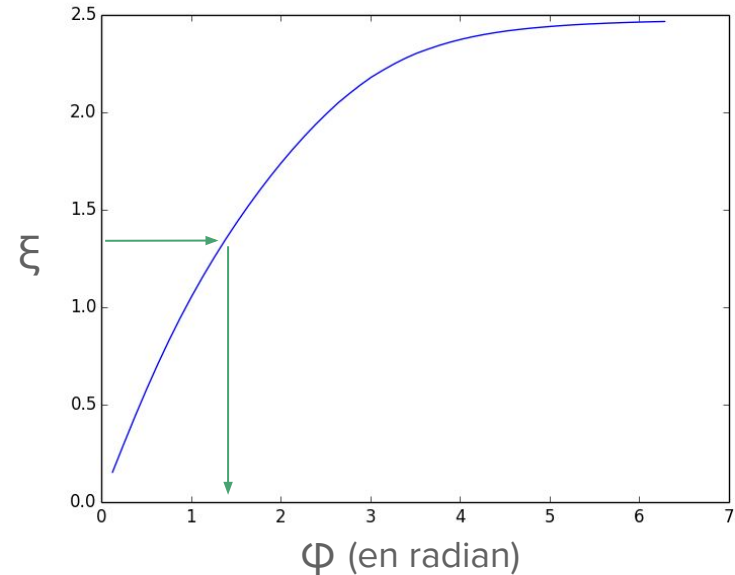


Méthode des tirs

On converge vers la bonne valeur en “interpolant” les points précédents.

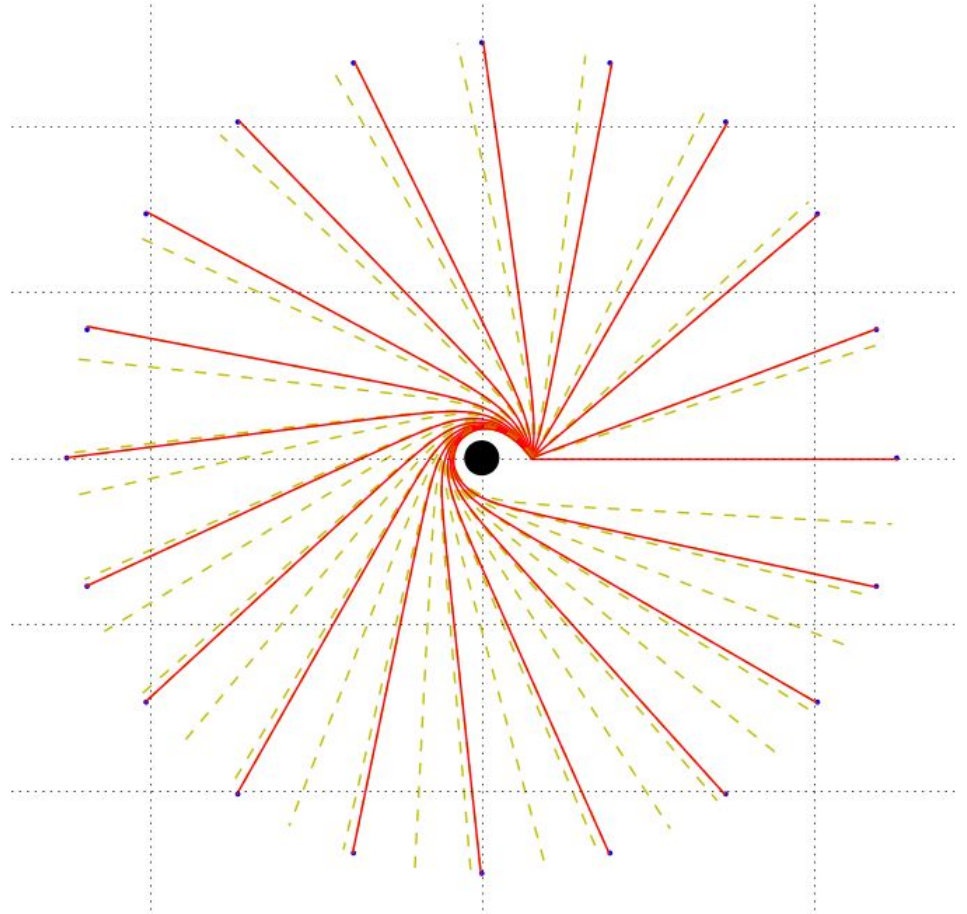
MAIS

Il faut que les premiers angles testés soient déjà proches du résultat



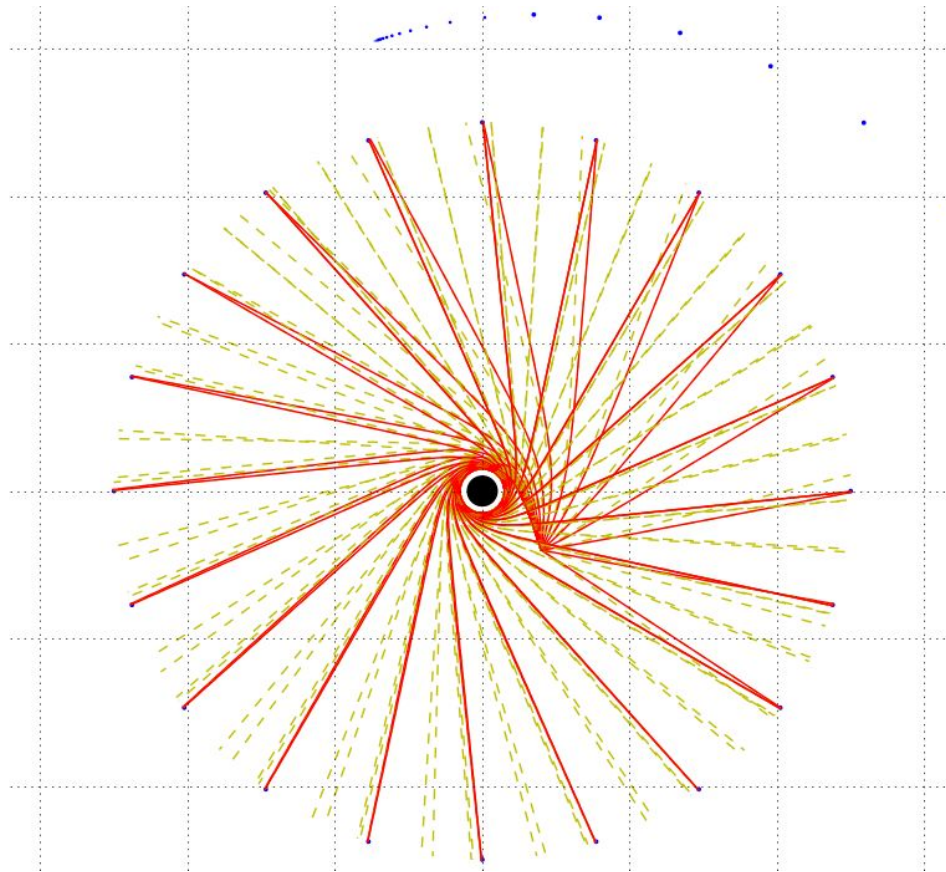
Quadrillage du ciel 2D

On effectue donc les convergences successives en partant de l'étoile en $\varphi=0$: on obtient toutes les images primaires “droites”.



Quadrillage du ciel 2D

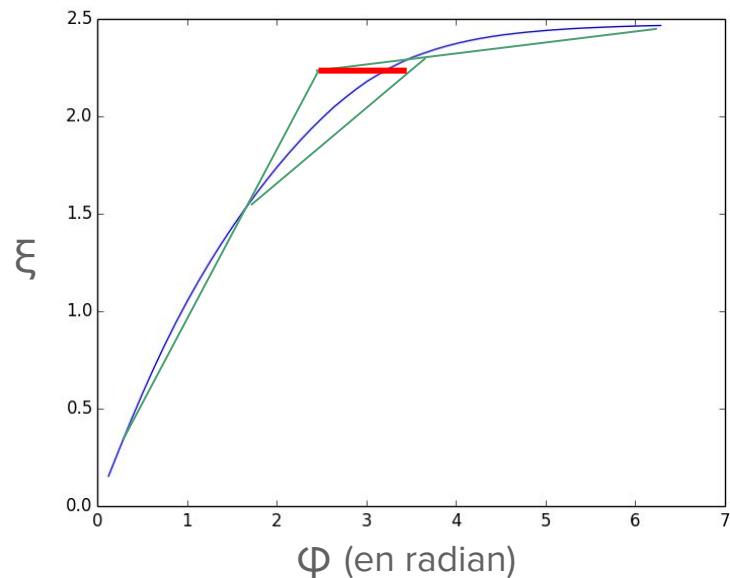
On peut poursuivre les tirs pour $\varphi > 2\pi$: on obtient les images “fantômes” (ghost).



Validation de la précision

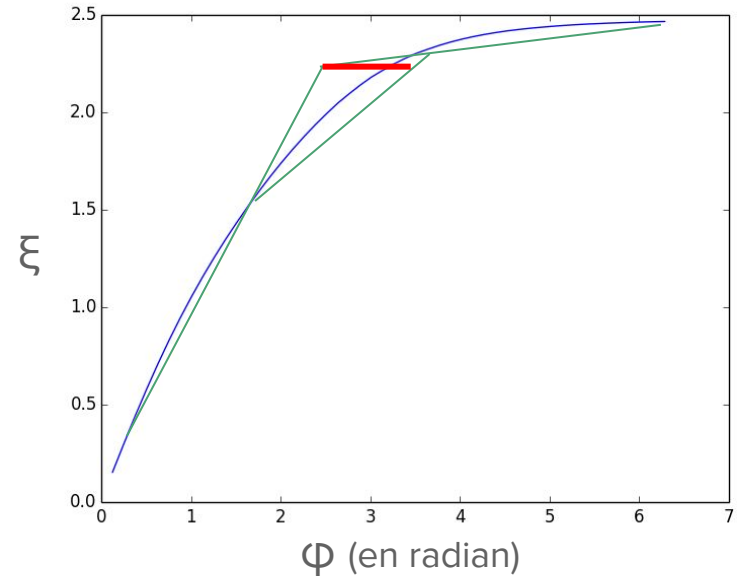
On se donne une précision ϵ sur l'angle d' "impact" (coordonnée φ)

Pour une étoile quelconque du ciel, il y a un premier facteur d'erreur lié à l'interpolation de $\xi(\varphi)$ → écart à la courbe



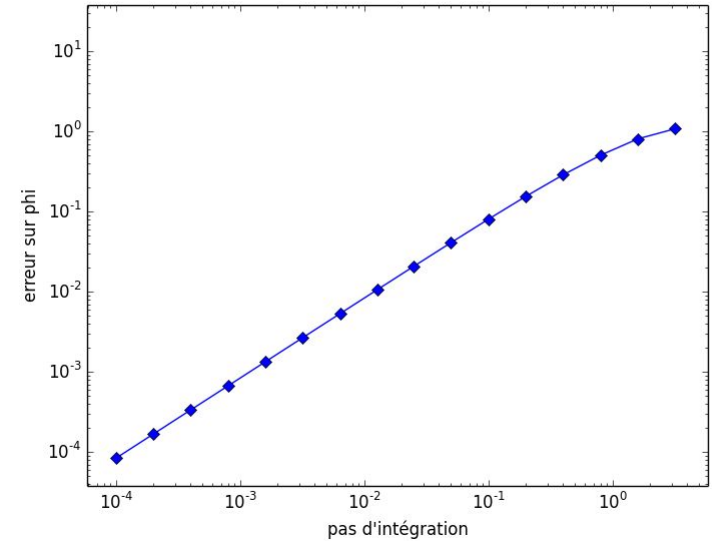
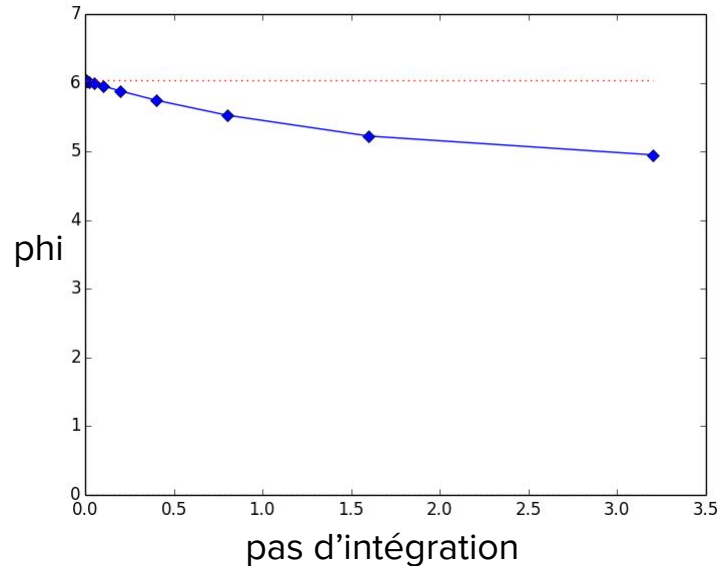
Validation de la précision

Cette erreur décroît
quadratiquement avec n (nombre
d'étoiles sur le cercle)



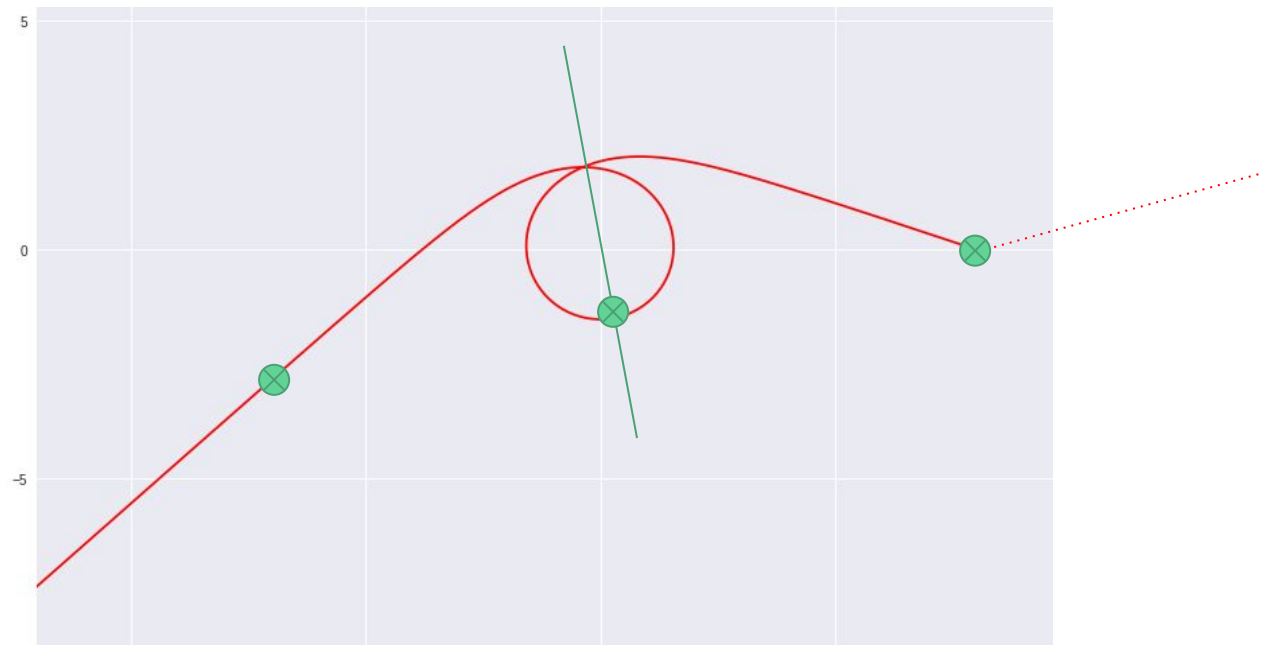
Validation de la précision

2ème facteur d'erreur : le pas d'intégration.



L'erreur sur ϕ décroît linéairement avec le pas. L'écart à la linéarité devient très faible quand le pas tend vers 0.

Astuce symétrie



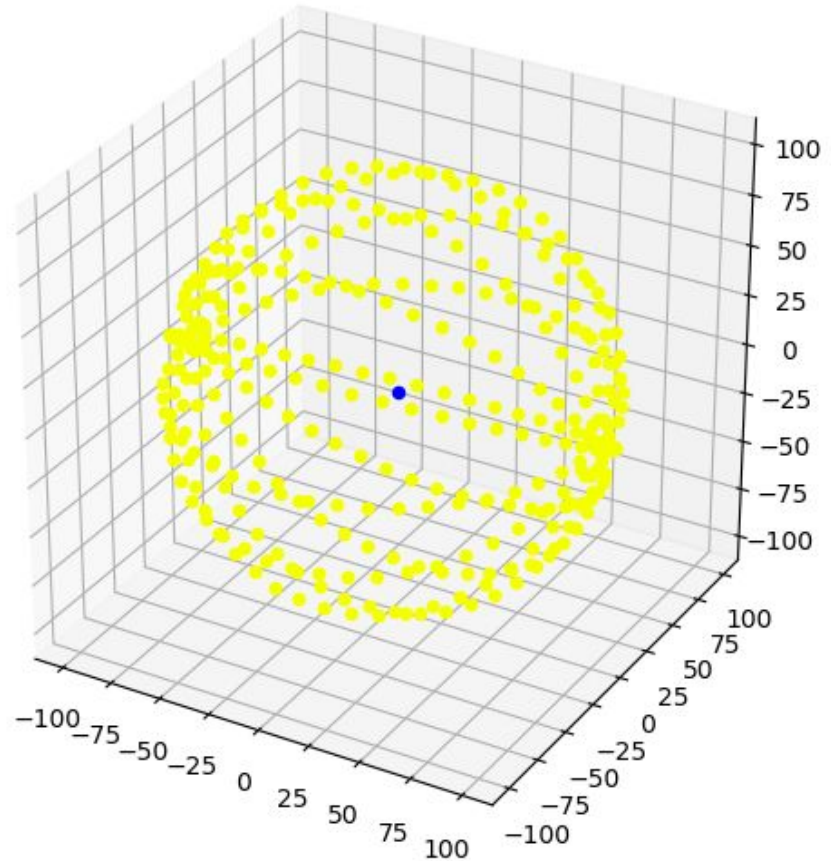
Ciel 3D apparent pour un observateur en chute libre

Ciel sans trou noir

Rayon du ciel : $R = 100 R_s$

Étoiles : monochromatiques
jaunâtres ($f \sim 520 \text{ THz}$)

Observateur : Point bleu,
initialement à $r = 10 R_s$

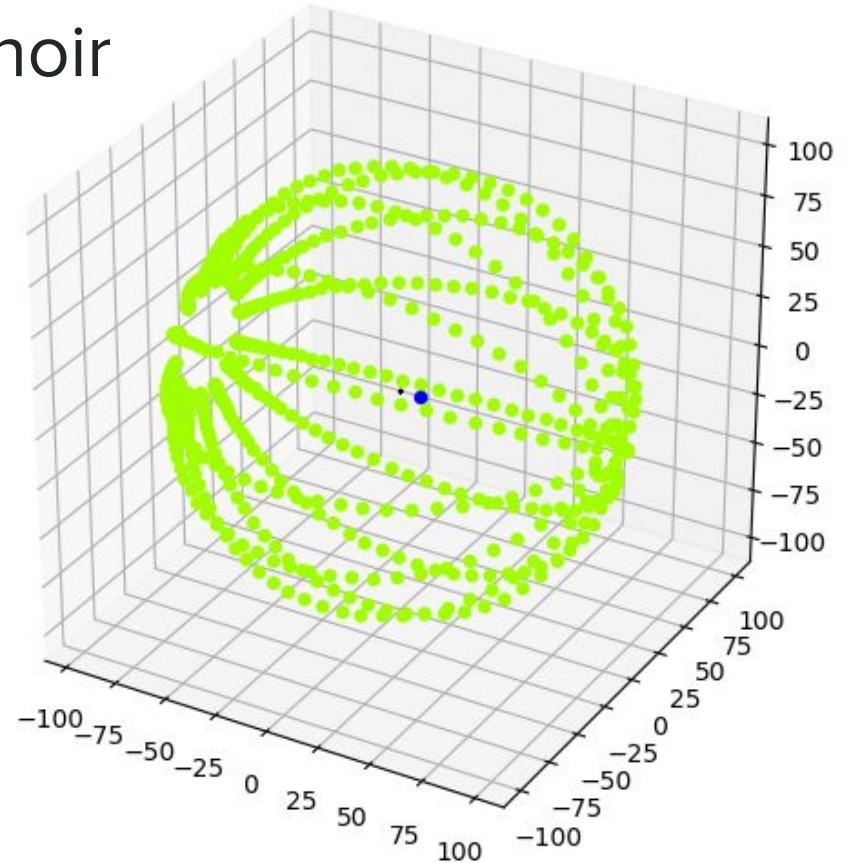


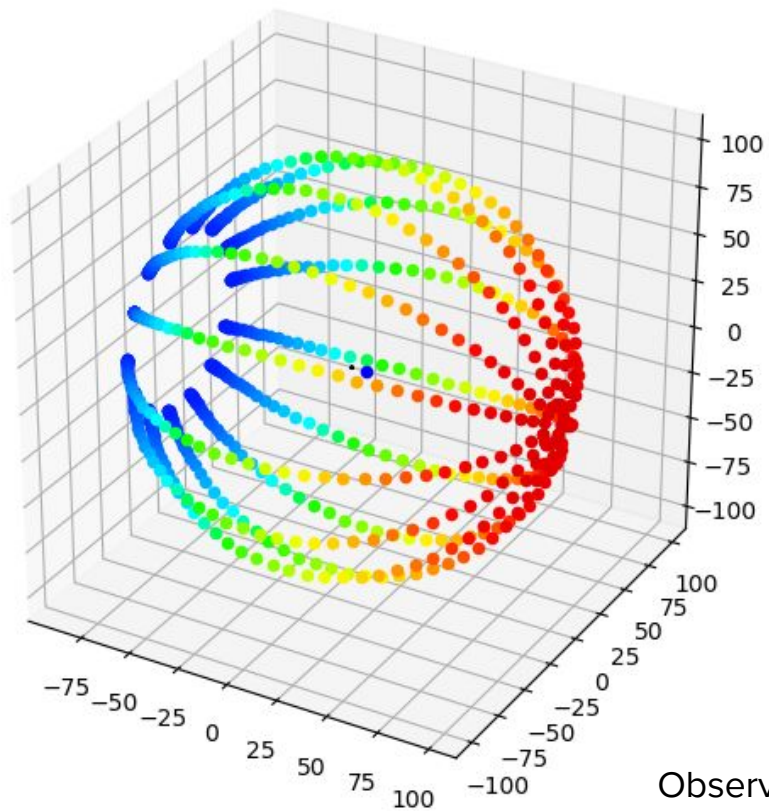
Ciel sans trou noir

Ciel en présence d'un trou noir

Observateur statique à $r = 10 R_s$

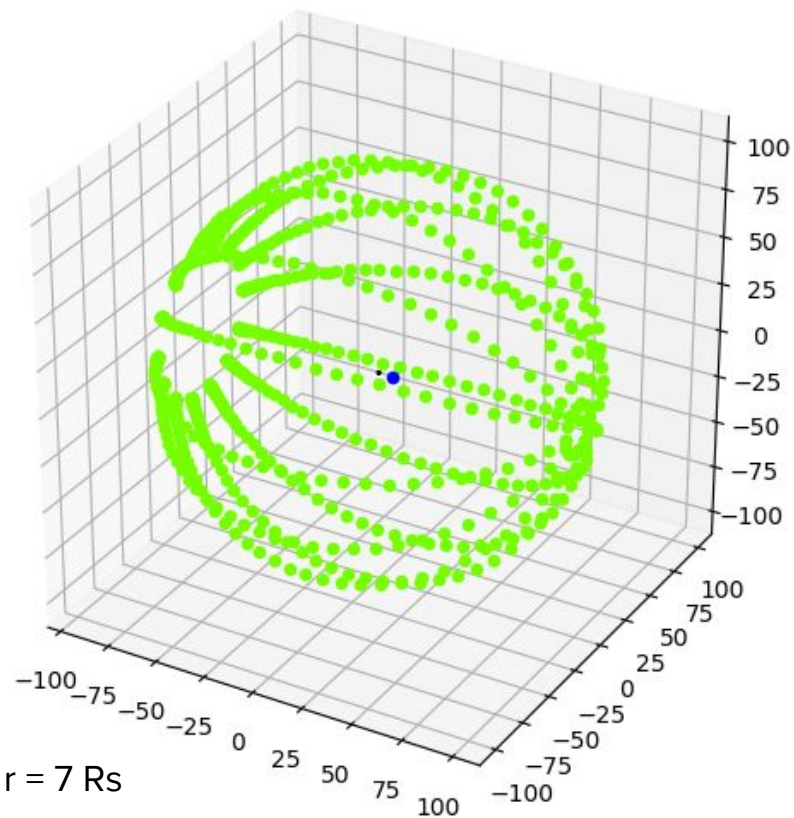
Bleuissement gravitationnel dû à
la présence du trou noir



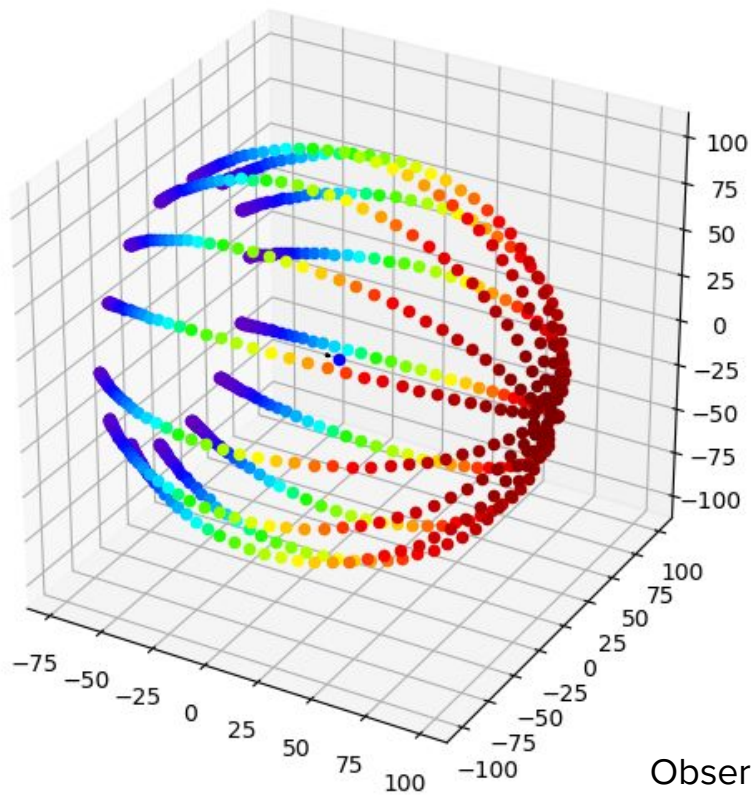


En chute libre

Observateur à $r = 7 R_s$

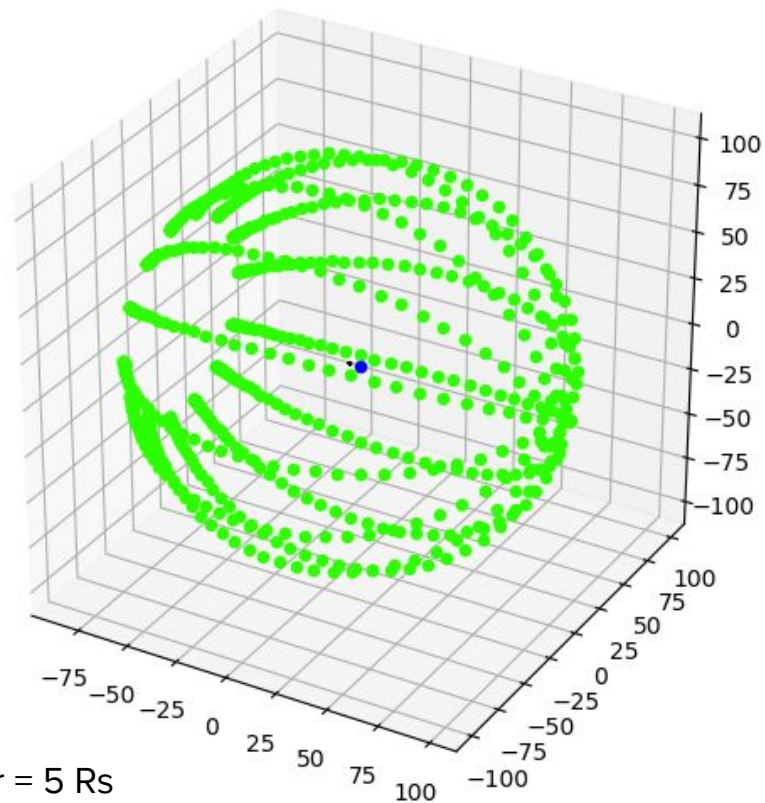


Statique

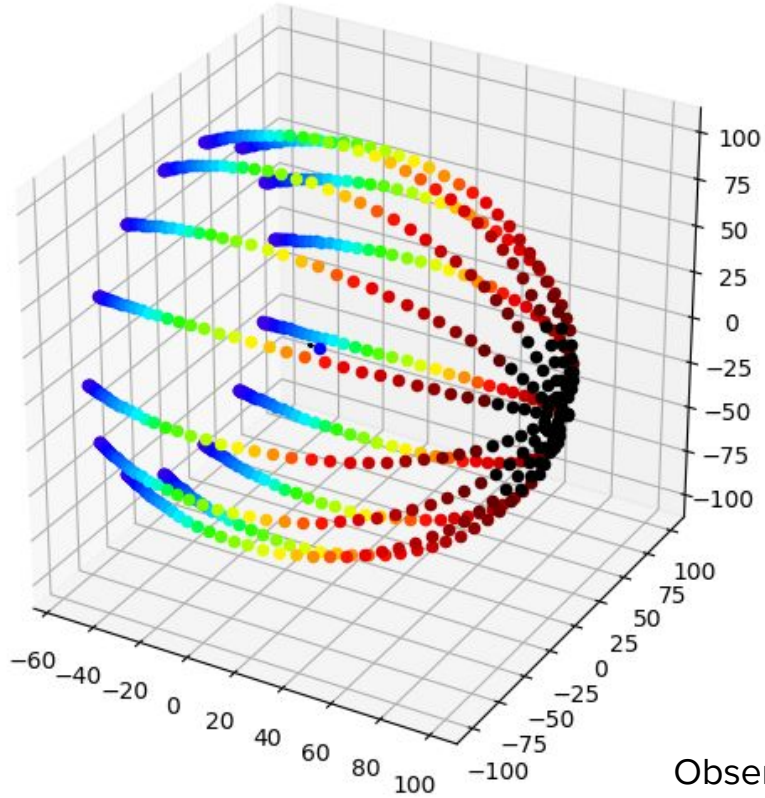


En chute libre

Observateur à $r = 5 R_s$

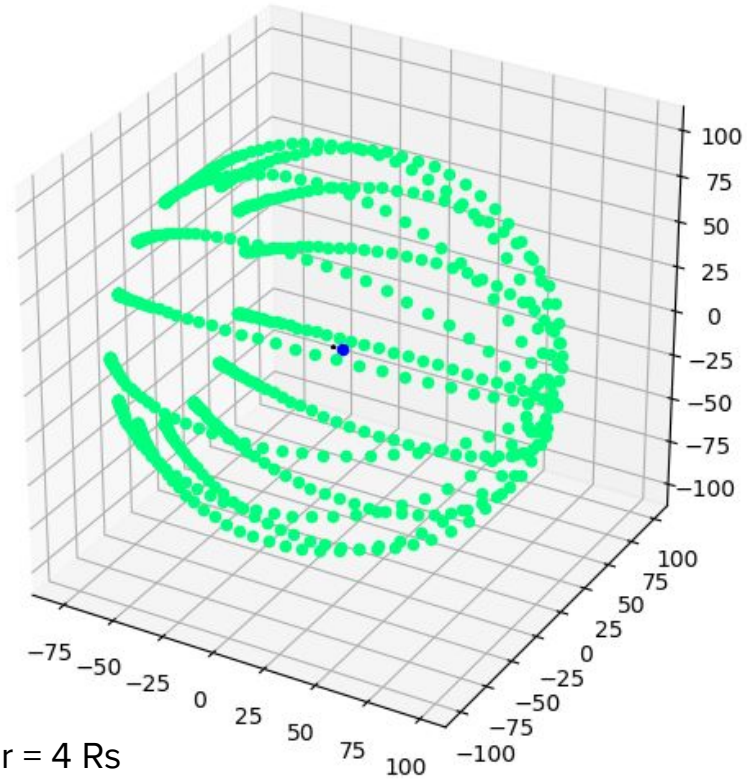


Statique

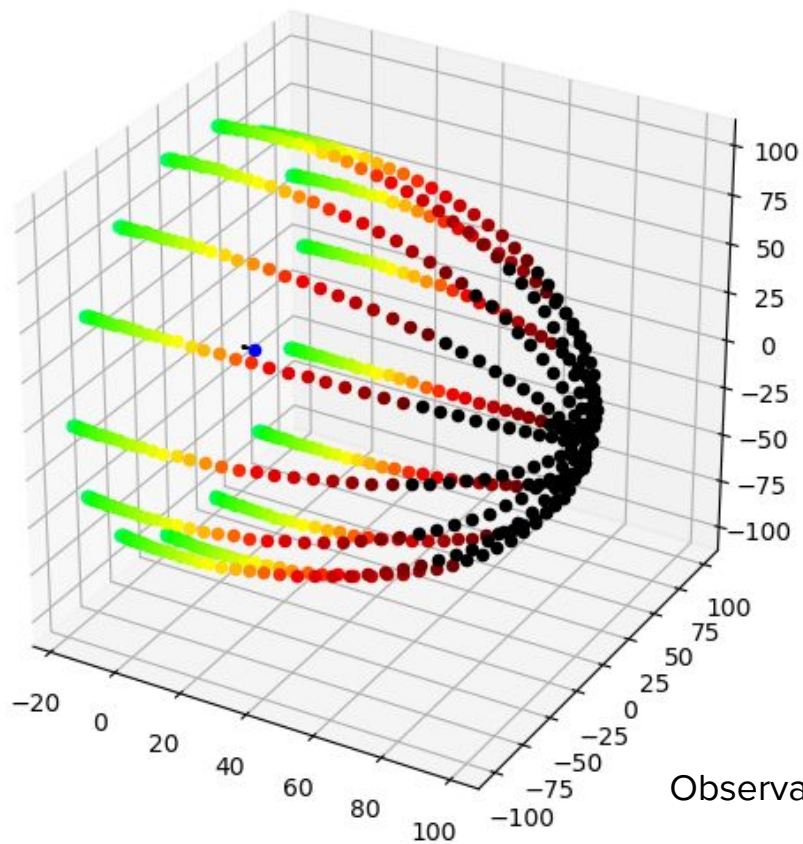


En chute libre

Observateur à $r = 4 R_s$

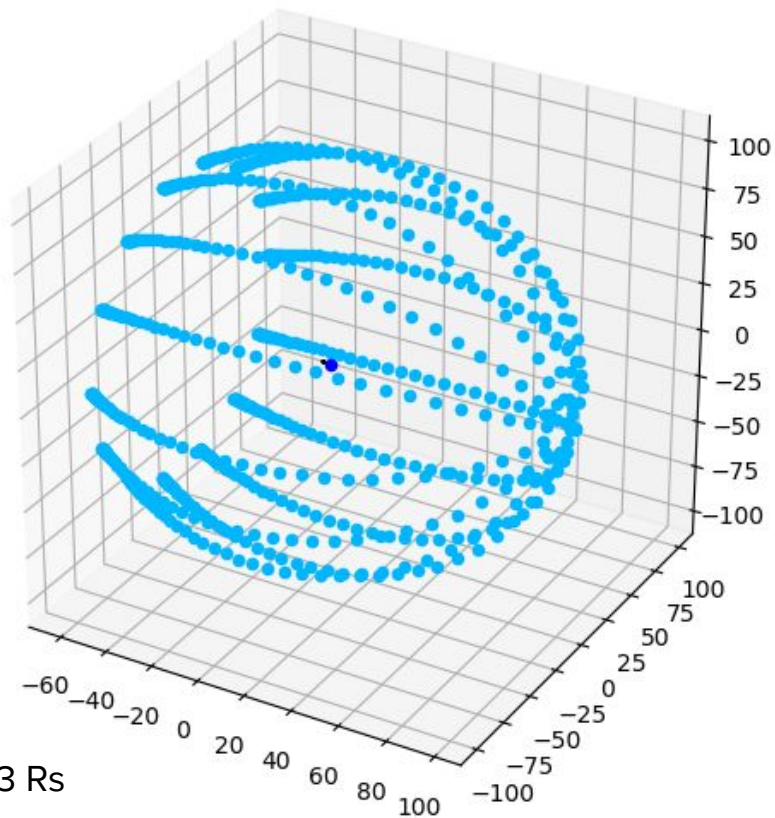


Statique

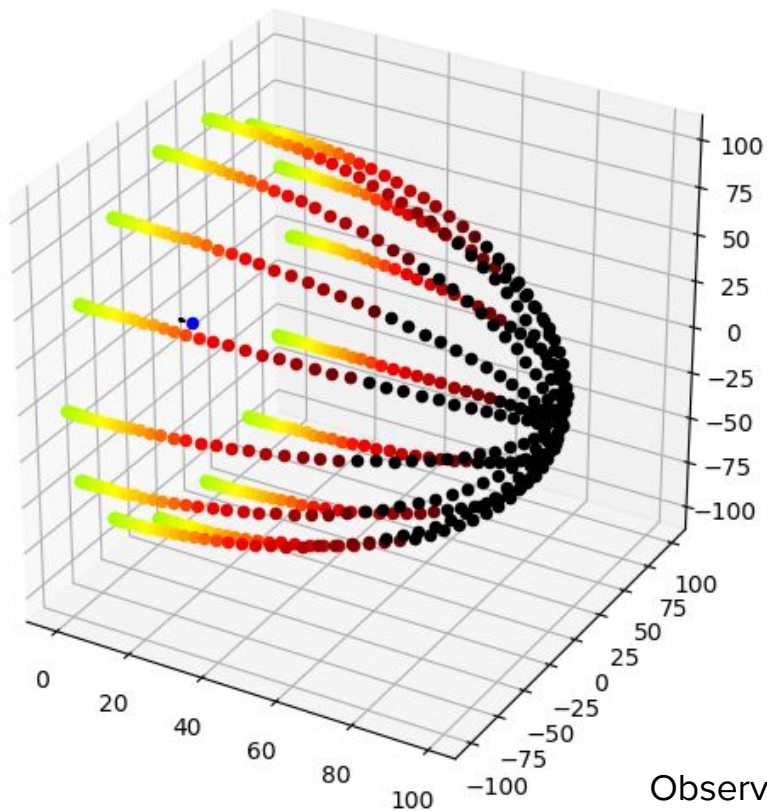


En chute libre

Observateur à $r = 3 R_s$

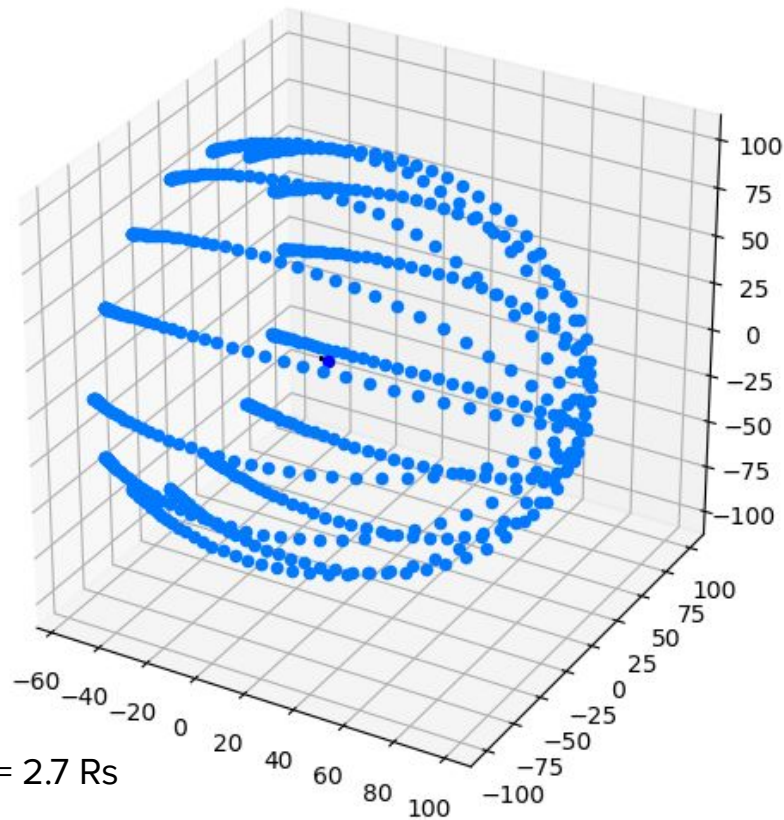


Statique

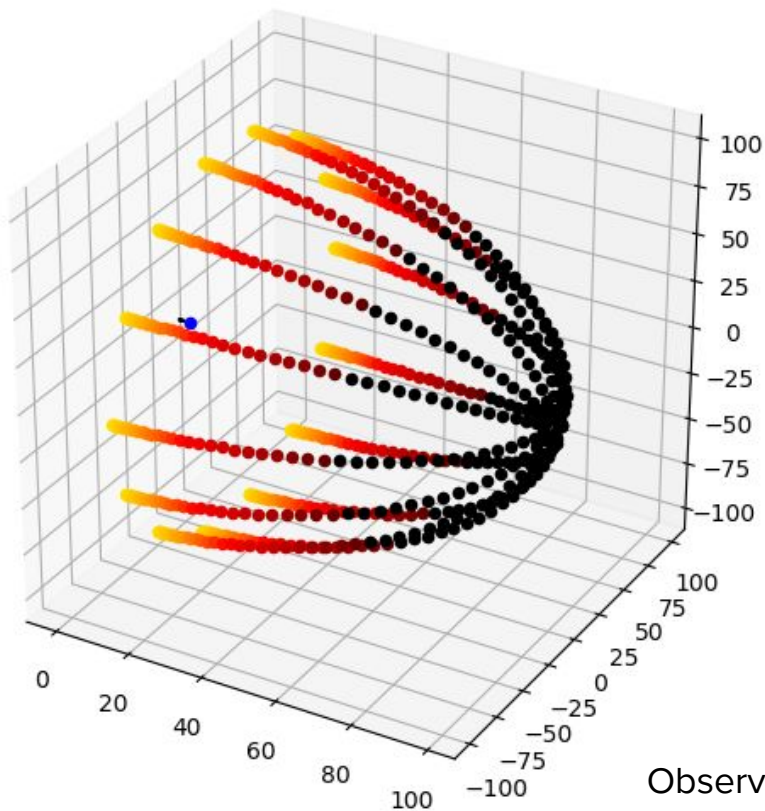


En chute libre

Observateur à $r = 2.7 R_s$

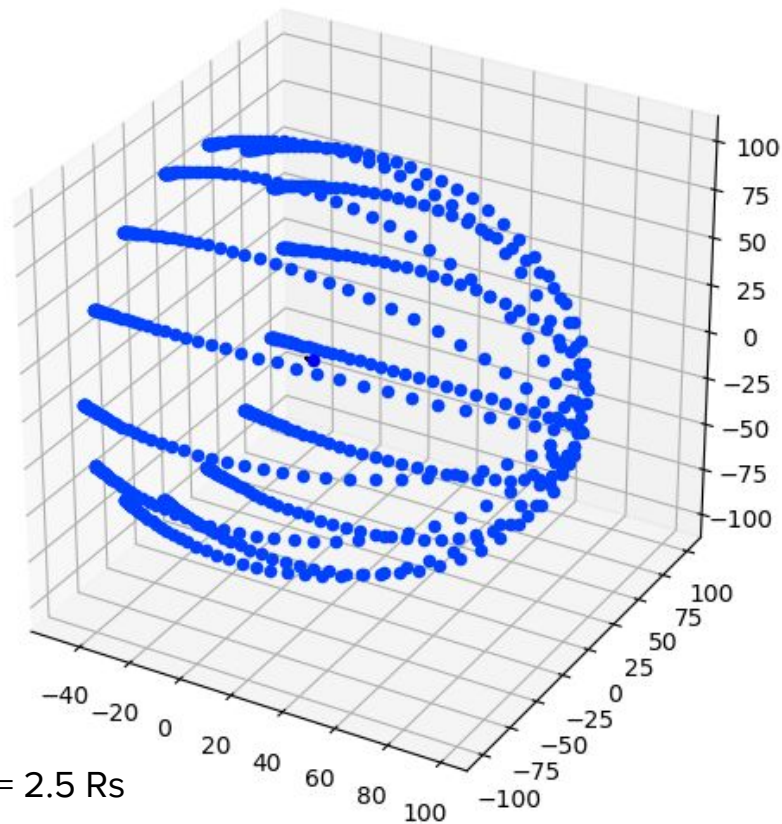


Statique

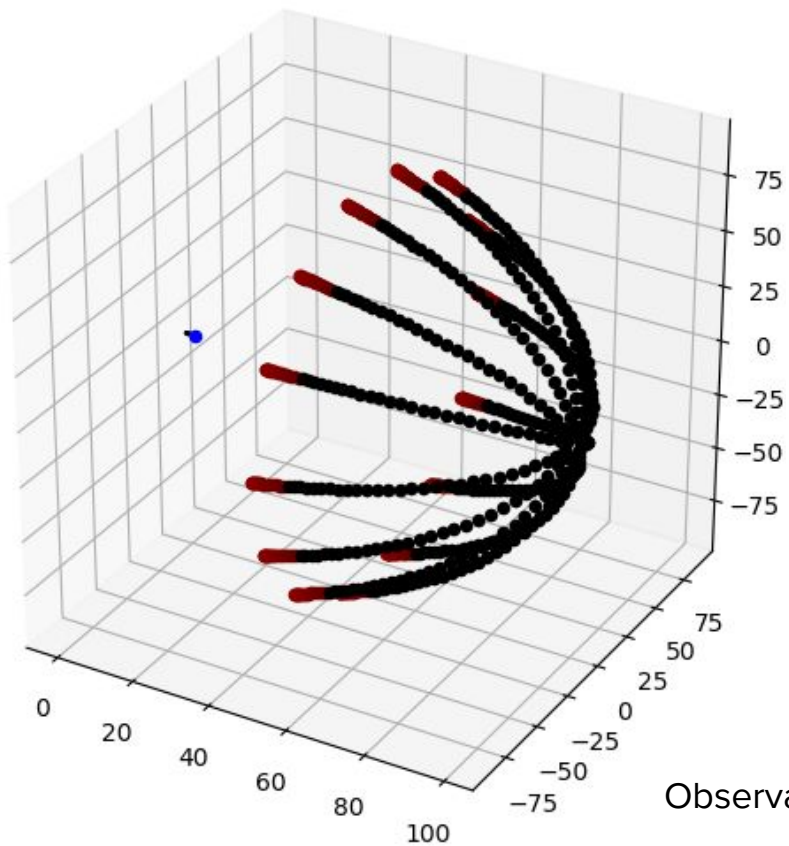


En chute libre

Observateur à $r = 2.5 R_s$

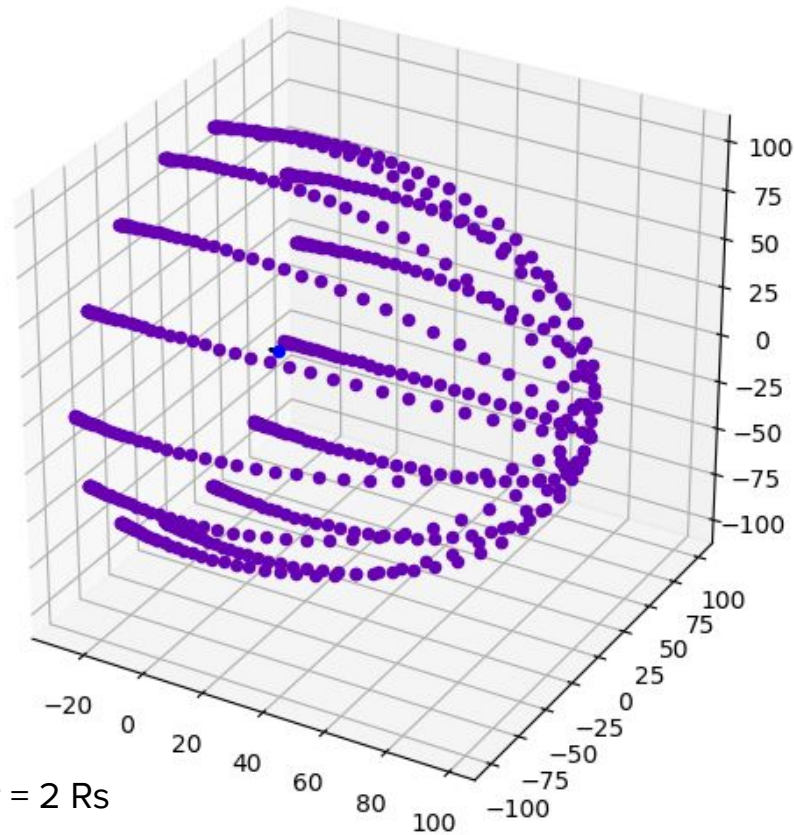


Statique

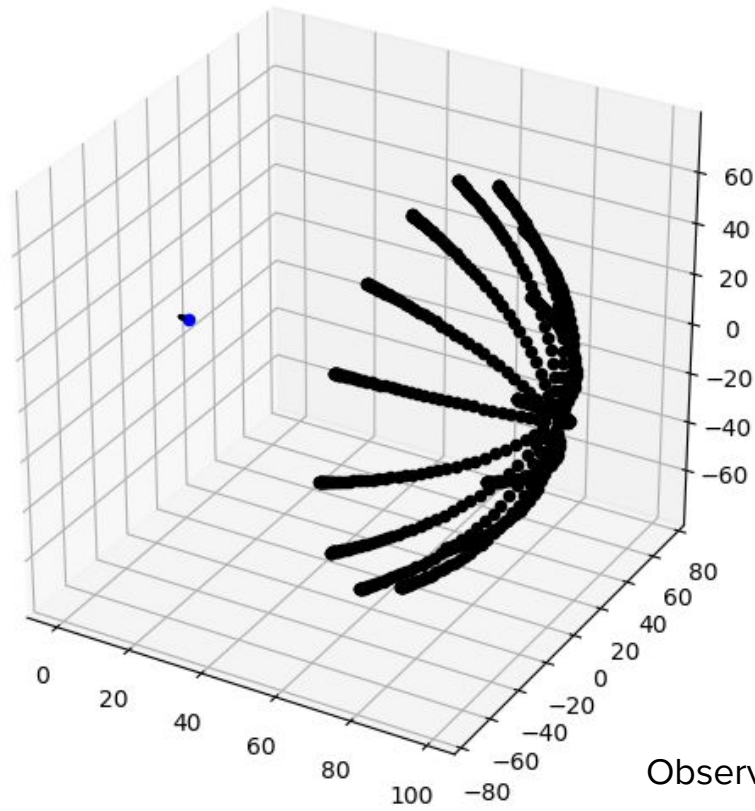


En chute libre

Observateur à $r = 2 R_s$

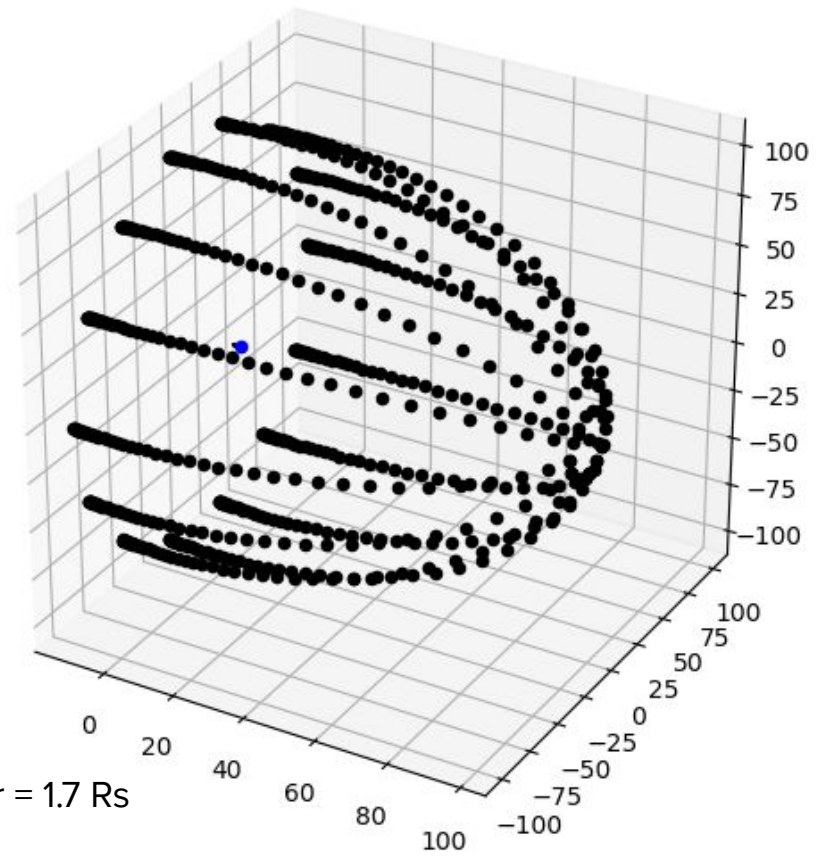


Statique



En chute libre

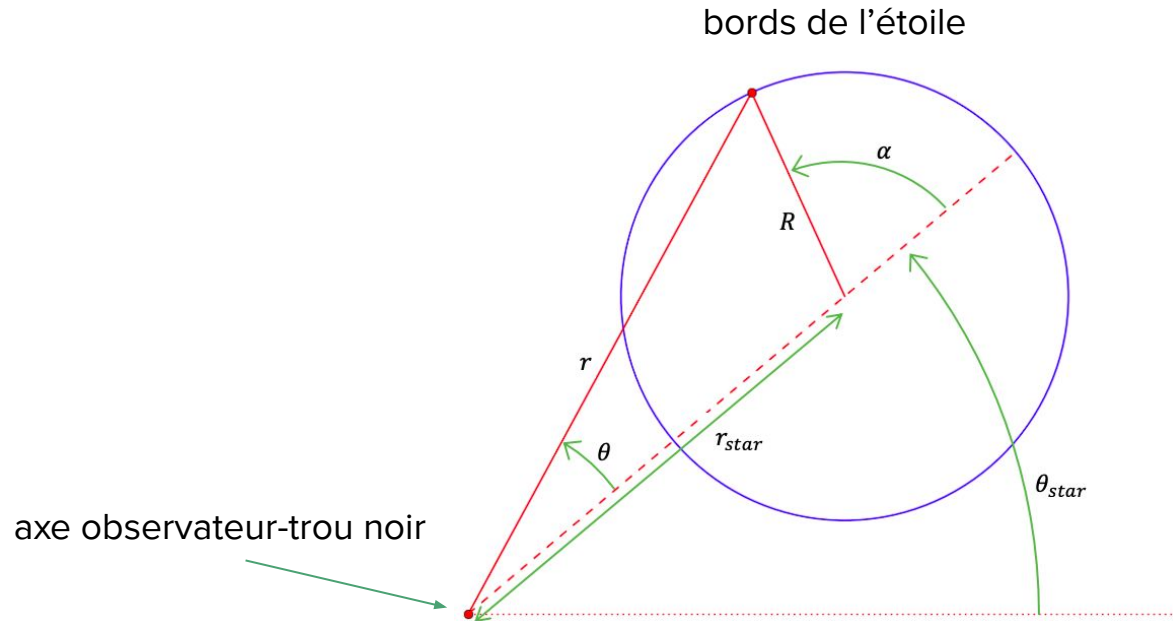
Observateur à $r = 1.7 R_s$



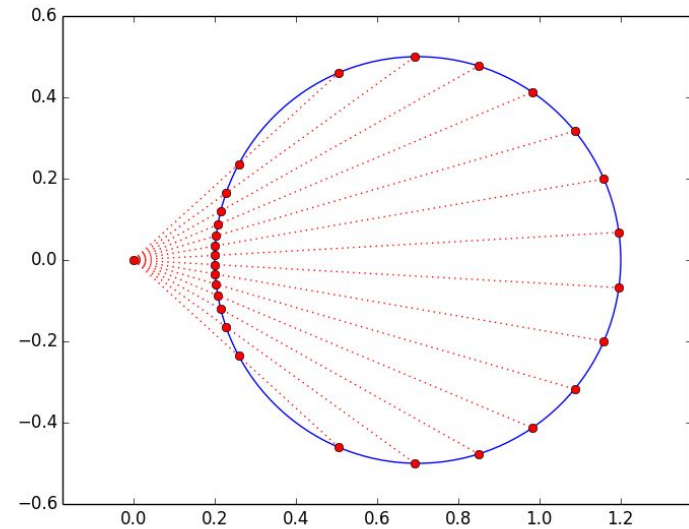
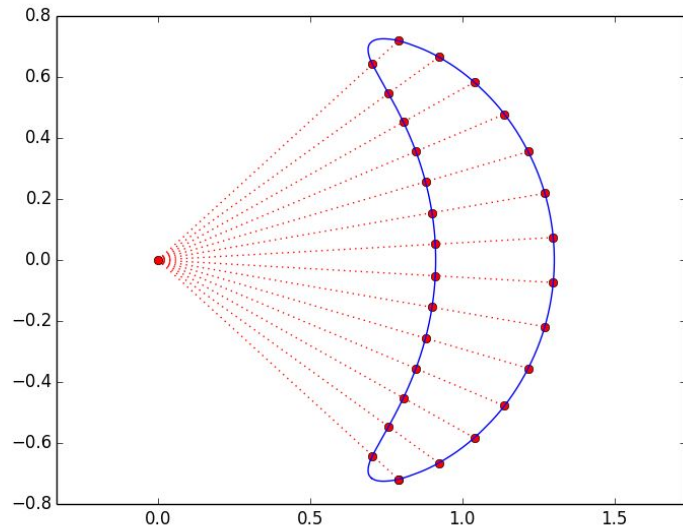
Statique

Effet Einstein

Effet Einstein...



Effet Einstein...



...anneaux d'Einstein

